

# Módulo de Teoría

## Clase 10, 23-02-2021

Anamaría Font V.

Universidad Central de Venezuela

LA-CoNGA-physics

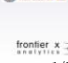
[mattermost.redclara.net@afont](mailto:mattermost.redclara.net@afont)



Latin American alliance for  
Capacity building in Advanced physics  
**LA-CoNGA physics**



Cofinanciado por el  
programa Erasmus+  
de la Unión Europea



# Recap clases 8, 9

Funciones de correlación de n-puntos

$$G^{(n)}(x_1, x_2, \dots, x_n) = \langle 0 | T \{ \phi(x_1) \dots \phi(x_n) \} | 0 \rangle , \quad \phi(x) = \phi_H(x)$$

$$= \frac{\langle 0 | T \{ \phi_I(x_1) \dots \phi_I(x_n) \exp(-i \int_{-\infty}^{\infty} dt H_I) \} | 0 \rangle}{\langle 0 | T \{ \exp(-i \int_{-\infty}^{\infty} dt H_I) \} | 0 \rangle}$$

$$= \text{suma de todos los diagramas}$$

conectados con n puntos externos

sin "burbujas de vacío"

Ejemplo  $\lambda\phi^4$ ,  $L_{int} = -\frac{\lambda}{4!}\phi^4$

$$G^{(2)}(x_1, x_2) = \frac{1}{x^0} + \frac{0}{x} + \left[ \frac{00}{x^2} + \frac{0}{x^2} \right] + \dots$$

$$G^{(4)}(x_1, x_2, x_3, x_4) = \frac{1}{x^0} \quad \leftarrow 3 \text{ similares}$$

$$+ \cancel{\frac{X}{X}} + \frac{0}{x^0} \quad \leftarrow 6 \text{ similares}$$

$$+ \cancel{\frac{X}{X}} + \cancel{\frac{X}{X}} + \frac{00}{x^0} + \frac{0}{x^0} + \frac{0}{x^0} + \frac{0}{x^0}$$

+ ...

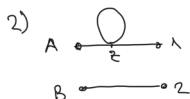
## Reglas de Feynman en espacio de posición

Para calcular  $G^{(n)}(x_1, \dots, x_n)$  a un cierto orden en la expansión perturbativa se dibujan todos los diagramas conectados con  $n$  puntos externos y # de vértices igual al orden, se suman

Ej.  $\lambda \phi^4$ ,  $G^{(4)}(x_A, x_B, x_1, x_2)$ , orden 2

$$1) \quad \begin{array}{c} x_A \\ \nearrow z \\ \diagdown \\ x_B \end{array} \quad G_1^{(4)} = -i\lambda \int d^4 z D_F(x_A-z) D_F(x_B-z) D_F(x_1-z) D_F(x_2-z)$$

$$G_1^{(4)} = -ik \int d^4 z \int \frac{d^4 k_A}{(2\pi)^4} \frac{ie^{-ik_A(x_A-z)}}{k_A^2 - m^2 + i\epsilon} \int \frac{d^4 k_B}{(2\pi)^4} \frac{ie^{-ik_B(x_B-z)}}{k_B^2 - m^2 + i\epsilon} \int \frac{d^4 k_1}{(2\pi)^4} \frac{ie^{-ik_1(x_1-z)}}{k_1^2 - m^2 + i\epsilon} \int \frac{d^4 k_2}{(2\pi)^4} \frac{e^{-ik_2(x_2-z)}}{k_2^2 - m^2 + i\epsilon}$$



+ similares

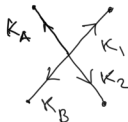
Ejercicio

En  $G_1^{(4)}$  aparece

$$-i\lambda \int d^4x_2 e^{i\lambda(k_A + k_B + k_1 + k_2)} = -i\lambda (2\pi)^4 \delta^{(4)}(k_A + k_B + k_1 + k_2)$$

$$G_1^{(4)} = \int \frac{d^4 k_A}{(2\pi)^4} \frac{i}{k_A^2 - m^2 + i\epsilon} e^{-ik_A x_A} \int \frac{d^4 k_B}{(2\pi)^4} \frac{i}{k_B^2 - m^2 + i\epsilon} e^{-ik_B x_B} \int \frac{d^4 k_1}{(2\pi)^4} \frac{i}{k_1^2 - m^2 + i\epsilon} e^{ik_1 x_1} \int \frac{d^4 k_2}{(2\pi)^4} \frac{i}{k_2^2 - m^2 + i\epsilon} e^{-ik_2 x_2} \\ \times (-i\lambda) \delta^{(4)}(k_A + k_B + k_1 + k_2)$$

Reglas de Feynman en espacio de momentos



1) por cada propagador  $\xrightarrow{p} \frac{i}{p^2 - m^2 + i\epsilon}$

2) por cada vértice  $-i\lambda (2\pi)^4 \delta^{(4)}(k_A + k_B + k_1 + k_2)$

3) por cada punto externo  $\xleftarrow{x} e^{-ipx}$

4) se integra sobre todos los momentos  $\int \frac{d^4 p}{(2\pi)^4}$

5) se divide por el factor de simetría

Scattering  $A + B \rightarrow 1 + 2 + \dots + n$

matrix S

$$S_{fi} = \langle f | i \rangle_{in}$$

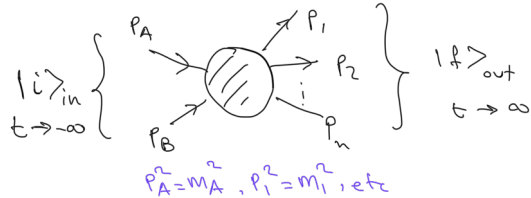
$$S_{fi} = S_{fi}^0 + i \hat{\epsilon}_{fi}, \quad \hat{\epsilon}_{fi} = (2\pi)^4 \delta^{(4)}(p_A + p_B - \sum p_f) M_{fi}$$

sección efectiva diferencial

$$d\sigma = \frac{|M|^2}{(2E_A)(2E_B)|\vec{v}_A - \vec{v}_B|} d\Omega_{LPS}$$

$$d\Omega_{LPS} = (2\pi)^4 \delta^{(4)}(p_A + p_B - \sum p_i) \frac{d^3 p_1}{(2\pi)^3 2E_1} \dots \frac{d^3 p_n}{(2\pi)^3 2E_n}$$

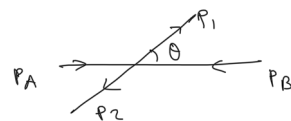
invariante de Lorentz



$A + B \rightarrow 1 + 2 \text{ en CM}$

si  $m_1 = m_2 = m_A = m_B$

$$\left( \frac{d\sigma}{d\Omega} \right)_{CM} = \frac{|M|^2}{64\pi^2 E_{CM}^2}$$



Diagramas de Feynman  
y amplitudes de scattering

## Fórmula de reducción de LSZ (Lehman-Symanzik-Zimmermann)

$i\hat{\epsilon}_{fi}$  se obtiene a partir de

$$G^{(n+2)} \underbrace{(x_A, x_B, x_1, \dots, x_n)}_{i} \underbrace{f} = \langle \Omega | T \{ \phi(x_A) \phi(x_B) \phi(x_1) \dots \phi(x_n) \} | \Omega \rangle$$

$$\langle \bar{p}_1 \bar{p}_2 \dots \bar{p}_n | i\hat{\epsilon} | \bar{p}_A \bar{p}_B \rangle$$

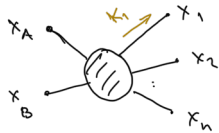
$$= (i \int d^4 x_1 e^{ip_1 x_1 (\square_1 + m^2)}) (i \int d^4 x_2 e^{ip_2 x_2 (\square_2 + m^2)}) \dots (i \int d^4 x_n e^{ip_n x_n (\square_n + m^2)}) \\ (-i \int d^4 x_A e^{-ip_A x_A (\square_A + m^2)}) (-i \int d^4 x_B e^{-ip_B x_B (\square_B + m^2)}) G^{(n+2)}(x_A, x_B, x_1, \dots, x_n)$$

demo: ver Schwartz, sec. 6-1

\*  $\square_1 + m^2 = \frac{\partial}{\partial x_1^\mu} \frac{\partial}{\partial x_{1\mu}} + m^2 = \frac{\partial^2}{\partial t_1^2} - \vec{\nabla}_1^2 + m^2$

Si no hay interacciones,  $(\square + m^2) \phi = 0$ , no hay scattering

\* Sabemos calcular  $G'$ s.



incluye  
por la ruta  
conectada a  $x_1$

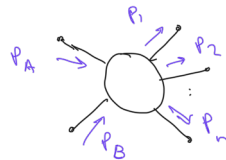
$$\int \frac{d^4 k_1}{(2\pi)^4} \frac{i}{k_1^2 - m^2 + i\epsilon} e^{-ik_1 x_1}$$

$$(\square_1 + m^2) e^{-ik_1 x_1} = (-k_1^2 + m^2) e^{-ik_1 x_1}$$

el efecto de  $(i \int d^4 x_1 e^{ip_1 x_1} (\square_1 + m^2))$  sobre  $G(x_A, x_B, x_1, \dots, x_n)$  es

$$\int \frac{d^4 k_1}{(2\pi)^4} \frac{i}{k_1^2 - m^2 + i\epsilon} \underbrace{\int d^4 x_1 e^{ip_1 x_1} e^{-ik_1 x_1} (k_1^2 - m^2)}_{(2\pi)^4 \delta^{(4)}(p_1 - k_1)} = \frac{i}{p_1^2 - m^2 + i\epsilon} \frac{(p_1^2 - m^2)}{\uparrow} \xleftarrow{\text{se cancelan}}$$

Patas externas  $\rightarrow$  partículas "on-shell"

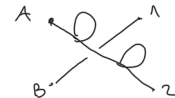
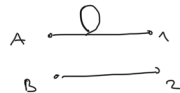


$$\begin{aligned} p_1^2 &= m^2 \\ p_A^2 &= m^2 \\ \text{etc} \end{aligned}$$

no hay propagadores en las patas externas

- \* los diagramas que contribuyen a  $G^{(n+2)}(x_A, x_B, x_1, \dots, x_n)$  no tienen burbujas de vacío
- \* solo diagramas completamente conectados contribuyen a  $i\varepsilon_{fi}$   
i.e. las patas externas se conectan entre sí a través del diagrama

## Ejemplos de diagramas desconectados



Estos diagramas describen procesos triviales con  $|i\rangle = |f\rangle$

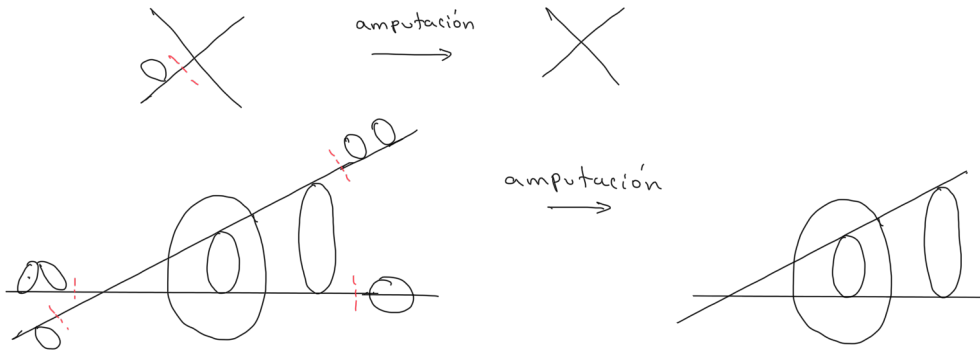
- \* Diagramas con lazos conectados a solo una pata externa se "amputan"

Ejemplo (ya con patas externas on-shell, sin propagadores)

$$\begin{array}{c}
 \text{Diagram: } \begin{array}{c} p_1 \\ \diagdown \quad \diagup \\ q \curvearrowleft \quad q \\ \diagup \quad \diagdown \\ p_2 \end{array} \\
 = \frac{1}{2} \int \frac{d^4 l}{(2\pi)^4} \frac{i}{l^2 - m^2 + i\epsilon} \int \frac{d^4 q}{(2\pi)^4} \frac{i}{q^2 - m^2 + i\epsilon} (-i\lambda \delta^{(4)}(p_B - q)) (-i\lambda \delta^{(4)}(p_A + q - p_1 - p_2))
 \end{array}$$

$$\text{integración en } q \text{ usando } \delta^{(4)}(p_B - q) \Rightarrow \frac{1}{q^2 - m^2} \Big|_{q=p_B} = \frac{1}{p_B^2 - m^2} = \frac{1}{0}$$

Para evitar este problema se amputa



los lazos en putas externas no tienen que ver con el scattering  
afectan la renormalización de  $m$  y  $\phi$

En conclusión

$$iM \cdot (2\pi)^4 S^{(4)}(p_A + p_B - \sum p_f)$$

= suma de todos los diagramas de Feynman completamente conectados y amputados, con  $p_A, p_B$  entrantes,  $p_1, \dots, p_n$  salientes

Reglas (para  $\delta\phi^*$ )

- 1) por cada propagador  $\xrightarrow{\phi} = \frac{i}{\phi^2 - m^2 + i\epsilon}$
- 2) por cada vértice  $\begin{array}{c} p_1 \\ \diagup \quad \diagdown \\ \times \quad \end{array} \begin{array}{c} p_2 \\ \diagdown \quad \diagup \\ p_3 \quad p_4 \end{array} (-i\lambda)$ , se impone conservación de momento
- 3) por cada puerta externa  $\rightarrow \leftarrow = 1$
- 4) se integra sobre el momento (indeterminado) de cada lazo  $\int \frac{d^4 k}{(2\pi)^4}$
- 5) se divide por el factor de simetría

( se generaliza a otras teorías , adaptando el vértice  
y los propagadores . Por ejemplo

1) 2 campos es calares reales

$$\phi_1, \phi_2 \text{ con } L_{\text{int}} = -\frac{g}{4} \phi_1^2 \phi_2^2$$



$$\frac{i}{p^2 - m_1^2 + i\epsilon}$$

$$\frac{i}{p^2 - m_2^2 + i\epsilon}$$

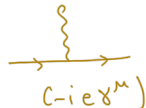
2) 1 campo escalar real  $\phi$

$$\text{con } L_{\text{int}} = -\frac{g}{3!} \phi^3$$



$$\frac{i}{p^2 - m^2 + i\epsilon}$$

3) QED ,  $L_{\text{int}} = -e \bar{\psi} \gamma^\mu \psi A_\mu$



$$\frac{i(\gamma^\mu p_\mu + m)}{p^2 - m^2 + i\epsilon}$$



$$\frac{-im_{\mu\nu}}{p^2 + i\epsilon}$$

)

Amplitud de scattering  $A + B \rightarrow 1 + 2$  en  $\chi\phi^4$

¿ Posibles diagramas ?

$$^{(4)} G(x_1, x_2, x_3, x_4) = \underline{\underline{\quad}}$$

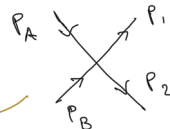
$$+ \text{ (Yellow circle with X) } + \text{ (Yellow circle with O) } \underline{\underline{\quad}}$$

$$+ \text{ (Yellow circle with curved lines and arrows) } + \cancel{\text{ (X) }} + \cancel{\text{ (O) }} + \underline{\underline{\quad}} + \text{ (Yellow circle with O) } + \text{ (Yellow circle with O) } \underline{\underline{\quad}} + \text{ (Yellow circle with O) } \underline{\underline{\quad}}$$

+ ...

\* orden  $\lambda$

$$i M_1 (2\pi)^4 \delta^4(p_A + p_B - p_1 - p_2) =$$



Aplicando reglas

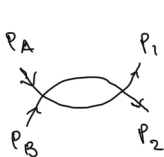
$$= -i\lambda (2\pi)^4 \delta^4(p_A + p_B - p_1 - p_2)$$

$$\Rightarrow M_1 = -\lambda$$

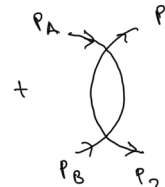
$$\left( \frac{d\sigma}{d\Omega} \right)_{CM} = \frac{\lambda^2}{64\pi^2 E_{CM}^2}$$

\* orden  $\lambda^2$

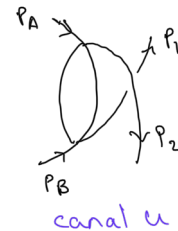
$$i M_2 (2\pi)^4 \delta^{(4)}(P_A + P_B - P_1 - P_2) =$$



canal S



canal T



canal U

Canal S

$$\begin{aligned} & \text{Diagram for Canal S: } \\ & \text{Feynman diagram showing two external lines } P_A \text{ and } P_B \text{ entering from the left, meeting at a vertex. Two internal lines } k \text{ and } l \text{ emerge from this vertex and interact at a loop. The loop is closed by two outgoing lines } P_1 \text{ and } P_2 \text{ exiting to the right.} \\ & \text{Equation: } \frac{1}{2} \int \frac{d^4 k}{(2\pi)^4} \int \frac{d^4 l}{(2\pi)^4} \frac{i}{k^2 - m^2 + i\epsilon} \frac{i}{l^2 - m^2 + i\epsilon} (-i\lambda (2\pi)^4 \delta^{(4)}(P_A + P_B + k - l)) (-i\lambda (2\pi)^4 \delta^{(4)}(l - k - P_1 - P_2)) \end{aligned}$$

se usa para integrar en  $l$ , fija  $l = k + P_A + P_B$

$$= \left[ \frac{(-i\lambda)^2}{2} \int \frac{d^4 k}{(2\pi)^4} \frac{i}{k^2 - m^2 + i\epsilon} \frac{i}{(P_A + P_B + k)^2 - m^2 + i\epsilon} \right] \frac{(2\pi)^4 \delta^{(4)}(P_A + P_B - P_1 - P_2)}{\text{conservación de momento total}}$$

queda una sola integral en  $k$ . un solo lazo = un solo momento libre

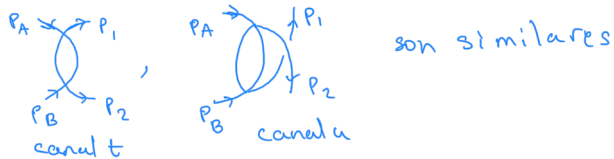
En la práctica

$$\begin{aligned}
 & P_A \xrightarrow{\text{K}} P_1 \\
 & P_B \xrightarrow{\text{K}+P_A+P_B} P_2 \\
 & = \frac{(-i\lambda)^2}{2} \int \frac{d^4 k}{(2\pi)^4} \frac{i}{k^2 - m^2 + i\epsilon} \frac{i}{(P_A + P_B + k)^2 - m^2 + i\epsilon}
 \end{aligned}$$

$$= i M_2(s), \quad s = (P_A + P_B)^2 = (P_1 + P_2)^2$$

Ejercicio: comprobar que

Hallar  $M_2(t)$ ,  $M_2(u)$



$s, t, u$ : variables de Mandelstam

$$s = (P_A + P_B)^2 = (P_1 + P_2)^2, \quad t = (P_A - P_1)^2 = (P_2 - P_S)^2, \quad u = (P_A - P_2)^2 = (P_1 - P_B)^2$$

Ejercicio tarea 4  $s+t+u = 4m^2$

En conclusión

$$iM_2 = iM_2(s) + iM_2(t) + iM_2(u)$$

$$iM_2(s) = \frac{(-i\lambda)^2}{2} \int \frac{d^4 k}{(2\pi)^4} \frac{i}{k^2 - m^2 + i\epsilon} \frac{i}{(k+p)^2 - m^2 + i\epsilon}, \quad p = p_A + p_B$$



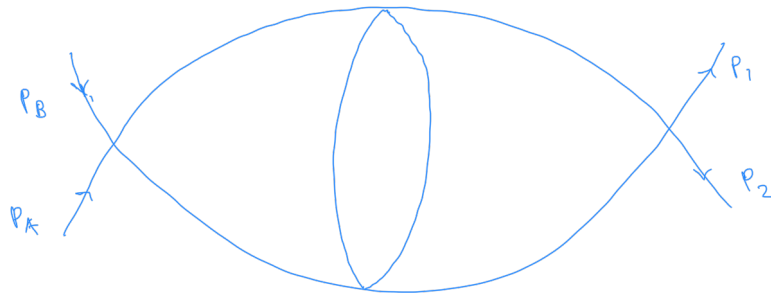
la integral es divergente!

Para  $k^2 \gg m^2, p^2$        $\int \frac{d^4 k}{k^4}$  tiene divergencia logarítmica

¿qué hacer? respuesta próximamente

Mientras tanto ...

Ejercicio: Determinar la contribución a  $M_4$  de



¿ cuántos lados ? 3

¿ cuantas integrales ? 3

¿ cuantos propagadores ? 6

¿ tipo de divergencia ? logarítmica



<http://laconga.redclara.net>



[contacto@laconga.redclara.net](mailto:contacto@laconga.redclara.net)



lacongaphysics



Latin American alliance for  
Capacity buildiNG in Advanced physics

LA-CoNGA physics



Cofinanciado por el  
programa Erasmus+  
de la Unión Europea

El apoyo de la Comisión Europea para la producción de esta publicación no constituye una aprobación del contenido, el cual refleja únicamente las opiniones de los autores, y la Comisión no se hace responsable del uso que pueda hacerse de la información contenida en la misma.